



## تحليل تدهور الغطاء النباتي كأحد مظاهر التصحر وفقاً لبعض التصنيفات المناخية في إقليم الجبل الأخضر

عازة عبد الله سعد عياد  
دراسات عليا / الأكاديمية الليبية للدراسات العليا  
Azzaabdalla2025n@gmail.com

مفتاح موسى سعد عبد الصادق  
أستاذ مساعد بكلية الآداب / جامعة عمر المختار - ليبيا  
Moftah.abdelsadak@omu.edu.ly

محتر عشري عبد السلام محمد  
أستاذ مشارك بكلية التربية / جامعة عمر المختار - ليبيا  
Mactar.mohamed@omu.edu.ly

صفاء عوض محمد تربى  
محاضر بكلية الآداب / جامعة عمر المختار - ليبيا  
Safa.tarbah@omu.edu.ly

### الكلمات المفتاحية:

إقليم الجبل الأخضر، التصنيف المناخي، نظم المعلومات الجغرافية، مظاهر التصحر، تدهور الغطاء النباتي.

### معلومات النشر:

تاريخ الاستلام: 2025/07/17  
تاريخ القبول: 2025/08/07  
تاريخ النشر: 2025/09/01

هدفت هذه الدراسة إلى تحليل تصنيف مناخ إقليم الجبل الأخضر في ليبيا وتتبع تدهور كثافة غطائه النباتي كأحد مظاهر التصحر باستخدام نماذج تصنيف كوبن، وإمبرجر، وثورنثويت. وتم توظيف بيانات القمر 5 **SENTINEL-2B**، **Landsat 5**، وتقنيات الاستشعار عن بعد ضمن بيئة نظم المعلومات الجغرافية لرصد التغيرات في الغطاء النباتي بين عامي 2000 و2024. وأظهرت النتائج أنَّ تصنيف إمبرجر كان الأنسب لظروف الإقليم، إذ قسمه إلى أربعة أنواع مناخية تعكس التباينات المناخية بدقة أكبر. وبينت الدراسة تقلص مساحة الغطاء الكثيف بنسبة 78.58%， وتمدد مساحة الغطاء الضعيف جداً بنسبة 46.56%.

كما تدهور الغطاء الكثيف داخل النطاق الريب حسب كوبن بشكل حاد بلغ 79.59%， بينما زاد الغطاء الضعيف جداً بنسبة 803.7%. في النطاق شبه الريب لتصنيفي إمبرجر وثورنثويت انكمش الغطاء الكثيف إلى 81% تقريباً، وتحول غطاء النطاقات الصحراوية والجافة جداً إلى فئة الضعف جداً حسب التصنيفات المناخية الثلاثة. وتوصي الدراسة بتعزيز تقنيات المراقبة البيئية والممارسات الزراعية المستدامة، وإعادة التشجير وحماية الموارد الطبيعية.

### الملخص:

## An Analysis of Vegetation Cover Degradation as an Indicator of Desertification in Al-Jabal Al-Akhdar Region

### Safa Awad Tarbah

Lecturer/Faculty of Arts  
Omar Al-Mukhtar University  
Safa.tarbah@omu.edu.ly

### MacTar Mohamed

Associate Professor /Faculty of Education  
Omar Al-Mukhtar University  
Mactar.mohamed@omu.edu.ly

### Muftah Musa Saad

Assistant Professor /Faculty of Arts  
Omar Al-Mukhtar University  
moftah.abdelsadak@omu.edu.ly

### Azza Abdullah Saad

Postgraduate Studies Libyan Academy  
for Postgraduate Studies  
Azzaabdalla2025n@gmail.com

### Abstract:

This study aimed to analyze the climate classification of the Jabal Akhdar region in Libya and monitor vegetation density deterioration as a desertification indicator across three models: Köppen, Emberger, and Thornthwaite. Remote sensing data from Landsat 5 and Sentinel-2B (2000-2024) were processed using GIS tools. The findings indicated that Emberger's classification best represented the region, dividing it into four climatic zones. Dense vegetation declined by 78.58%, while very sparse vegetation expanded by 46.56%. In the humid zone (Köppen), dense vegetation decreased by 79.59%, whereas the very sparse vegetation surged by 803.7%. In the semi-humid zone, dense vegetation diminished by approximately 81% (Emberger and Thornthwaite). Desert and arid zones showed the most significant shift toward very sparse vegetation in all three models. The study recommended enhancing environmental monitoring via remote sensing, promoting sustainable agriculture, implementing reforestation programs, and enforcing policies for the conservation of natural resources.

### Keywords:

Jabal Akhdar Region,  
Climate Classification,  
Geographic  
Information Systems  
(GIS), Desertification  
Indicators, Vegetation  
Cover Degradation

### Information:

Received: 17/07/2025  
Accepted: 07/08/2025  
Published: 01/09/2025

عوامل طبيعية وبشرية تأثر على النظم البيئية وبالتالي تؤدي إلى تفاقم  
قضايا بيئية رئيسية مثل تدهور الغطاء النباتي والجفاف وتغير خصائص  
المناخ (Ali, 2024).

ويعد تدهور الغطاء النباتي من أهم مظاهر التصحر، حيث ينبع عن  
تدهوره فقدان التنوع البيولوجي وتدين خصائص التربة ومن ثم انخفاض

يشير مصطلح التصحر إلى التدهور الذي يصيب الأراضي في  
بيئات مختلفة (الجفاف وشبه الجفاف وشبه الرطبة)، مما يؤدي إلى تدني  
الإنتاجية البيولوجية للنظم البيئية (Pinto-Ramos, et al., 2024; Al-Kulabi, 2022)  
وينتج هذه الظاهرة تداخل

### مقدمة:

الرغم من أهمية هذا الإقليم من الناحية البيئية، فإنّ مسألة الحصول على بيانات مناخية موثوقة تغطي كل أجزاءه تشكّل أكبر معوقات تصنيفه مناخياً بشكلٍ يعييناً على تحليل أسباب التدهور الحاصل في الغطاء النباتي داخل كل صنف مناخي. إنّ نقص هذه البيانات يعرقل إجراء أبحاث رصينة حول التغيرات المناخية وتأثيراتها على البيئات المحلية، دون إغفال بعض محاولات تصنيف مناخ الإقليم، التي اضطررت للاعتماد على بيانات ذات جودة منخفضة من حيث المدة والتوزيع المغرافي (نوح، 1998)، ما يؤكد الحاجة الماسة لتوفير بيانات مناخية من شئنها دعم الدراسات الخاصة بالتصنيفات المناخية والتدور البيئي عموماً.

ابتناءً على ما تقدّم فإنّ هذه الدراسة تهدف إلى مقارنة ثلاثة نماذج للتصنيفات المناخية (كوبن، وإمبرجيه، وثورنثويت) في إقليم الجبل الأخضر، والتعرف على أكثرها ملائمةً لظروف المنطقة، علاوةً على تحليل العلاقة بين هذه التصنيفات وتدور الغطاء النباتي.

**مشكلة الدراسة:** يستأثر إقليم الجبل الأخضر بعوامل عدّة جعلته إقليماً متميزاً عن بقية الأراضي الليبية، كارتفاعه واعتدال مناخه ووفرة أمطاره، مما ساعد على خلق وتأقلم غطاء نباتي طبيعي فريد، وبعدّ المناخ العامل الرئيس المتحكم في نمو وتوزيع هذا الغطاء، وبالتالي فإنّ دراسة مناخ هذه الإقليم وتصنيفه يصطحب بأهمية بالغة بغية الوقوف على مدى التدهور الحاصل للغطاء النباتي داخل كل صنف مناخي بشكلٍ أكثر دقة بتوظيف تقنيات الاستشعار عن بعد التي توفر بيانات مستمرة ومقبولة، كما أنها تغطي كل الإقليم؛ هذا وأثبتت Gutierrez et al, 2023; Syed, et al, 2023; Rosa, et al, 2023; Bandira, et al, 2023; Tayyeh, et al, 2023). وعليه فإنّ هذه الدراسة تحاول الإجابة عن السؤالين الآتيين: أي التصنيفات المناخية المدروسة أكثر مقاربة لواقع الإقليم؟ وما هي حالة الغطاء النباتي وفق كل تصنيف؟

#### أهداف الدراسة:

1. تصنيف مناخ إقليم الدراسة وفق بيانات حديثة وموثقة.
2. تحديد التصنيف المناخي الملائم للمنطقة حسب تنوع الغطاء النباتي ومظاهر السطح.
3. تحليل التدهور الحاصل للغطاء النباتي داخل كل تصنيف مناخي.
4. إنشاء قاعدة بيانات مكانية للبيانات المناخية يمكن الاعتماد

الإنتاجية، خاصة في المناطق الجافة وشبه الجافة إلى شبه الرطبة التي تميز بخشاشة أنظمتها البيئية في ظل تزايد الأنشطة البشرية، حيث تكون هذه المناطق عرضة للتغيرات في أنماط الأمطار وارتفاع درجات الحرارة، تزامناً مع هذه الأنشطة كالرعى الجائر وإزالة الغابات (Lal, 2001; Katyal & Vlek, 2000)

وتلعب التصنيفات المناخية دوراً فعالاً في فهم أكثر عمقاً للنظم البيئية وخصائصها بتوفير إطار واضح المعالم للحياة النباتية والحيوانية في البيئات المختلفة، لا سيما تأثير التغيرات الحاصلة في المناخ على النظم البيئية، كما تساعد هذه التصنيفات على تقدير الظروف المناخية والتنبؤ بالتغيرات المحتملة (Hanberry, 2023; Navarro, et al, 2022).

وتكتسب دراسة التصنيفات المناخية أهمية خاصة في الدراسات المغرافية؛ حيث تساهم في تفعيل مبتغى علم المغرافيا في تمييز سطح الأرض إلى أقاليم جغرافية متباينة محددة الطابع (الحساني، 2020)، ومن هنا تنبثق أهمية التصنيفات المناخية كركيزة مثلية لتحديد خصائص الأقاليم المغرافية المختلفة (Huang, et al, 2023; Burgener, et al, 2023; Cui, et al, 2021).

وقام العديد من الدارسين بتقسيم سطح الأرض إلى مناحات متباينة حسب تصنيفات تعتمد أغراضًا مختلفة، مثل تصنيف كوبن Köppen عالم النبات الألماني وتصنيف ثورنثويت Thornthwaite عالم المناخ الأمريكي، حيث يقوم التقسيم البشري على أساس الغطاء النباتي الطبيعي، بينما يرتكز التقسيم المناخي على عنصري الحرارة والرطوبة (Xin, 2023).

إنّ دراسة العلاقة بين التصنيفات المناخية وتدور الغطاء النباتي الطبيعي من أهم أسس فهم تأثير الخصائص المناخية (درجات الحرارة، الأمطار، التغيرات المناخية) على النظم البيئية، وعلى الرغم من تعدد الدراسات التي استكشفت هذه العلاقة، إلا أنّ هناك حاجة ملحة لتحليلها بشكلٍ أكثر تفصيلاً باستخدام قاعدة بيانات مكانية يمكن الاعتماد عليها في التنبؤ بوضع الغطاء النباتي، فضلاً عن ذلك فإنّ ربط حالة هذا الغطاء بالتصنيف المناخي (جاف، شبه جاف، شبه رطب، رطب) داخل الإقليم سيثري فهمنا لأثر التفاعلات بينها. ويعتل إقليم الجبل الأخضر بيئة طبيعية متفردة في ليبيا؛ إذ أنه يحظى بغطاء نباتي طبيعي كثيف ومتتنوع، مقارنة ببقية أجزاء البلاد، وهو انعكاسٌ لتغيير طوبغرافيته وتبنياته المناخية (محمد، 2005).

عليها في الدراسات المستقبلية.

### ثانيًا: مصادر البيانات:

**1. البيانات المناخية:** اعتمدت هذه الدراسة على موقع power. Larc. nasa للحصول على بيانات المناخ، بالإضافة للبيانات المتوفرة للأمطار من محطات إقليم الدراسة، كما دعمت ببيانات قياس Tropical Rainfall Measuring Mission "TRMM" (Measuring Mission) والتي أظهرت تقارنًا بينًا مع بيانات أمطار محطات المنطقة. وتعدّ بيانات TRMM مصدراً قيماً للمعلومات عن هطول الأمطار على الصعيد العالمي، في حال إدراك حدودها واستخدامها بحذر.

**2. صور الأقمار الصناعية:** استُخدمت بيانات القمر الأمريكي Sentinel-2B، والقمر الأوروبي Landsat5، مؤشرات الغطاء النباتي، وهي بيانات مستقاة من موقع هيئة المسح الجيولوجي الأمريكية <https://earthexplorer.usgs.gov>، وموقع وكالة الفضاء الأوروبية [dataspace.copernicus.eu](https://dataspace.copernicus.eu).

الجدول (1) بيانات الأقمار الصناعية المستخدمة.

عدد اللوحات	السحب %	الدقائق (متر)	التاريخ المحلي	نوع القمر
6	أقل من 5	60-30	24/07/2000	Landsat 5 TM C1 Level-1
12	أقل من 5	10-20	08/06/2024	SENTINEL-2B

المصدر: ملف البيانات الوصفية للمرئيات <https://earthexplorer.usgs.gov> [dataspace.copernicus.eu](https://dataspace.copernicus.eu)

\* تم الاعتماد على بيانات القمر 5 Landsat، لعدم توفر بيانات عن الغطاء النباتي لسنوات سابقة من النسخ الحديثة للقمر Landsat أو القمر Sentinel-B2

### ثالثًا: معالجة البيانات:

تم دمج الصور الفضائية بغرض تغطية كامل الإقليم للحصول على المؤشرات المطلوبة وكما يأتي:

### 1. مؤشر Normalized Difference Vegetation Index (NDVI)

ويعرف بدليل الاختلافات الخضرية الطبيعية، ويتم حسابه من خلال المعادلة الآتية: (Gommes & Caracalla, 1979)

$$NDVI = \frac{B1 - B2}{B1 + B2}$$

حيث تمثل B1 الأطوال الموجية تحت الحمراء القرية (Band 4 في SENTINEL-2B، Band 5 في Landsat 8، و Band 3 في LANDSAT 5، و Band 4 تمثل الحزم الحمراء (Band 4 في SENTINEL-2B،

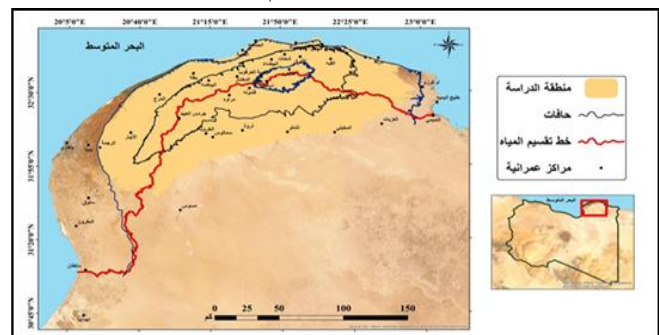
أهمية الدراسة: التنوع النباتي في إقليم الجبل الأخضر ما هو إلا محصلة لخصائصه المناخية والطبوغرافية، فالإقليم يُعدّ موطنًا طيفيًّا عريضًّا متعددًا من النباتات والحيوانات، وبالتالي فإنَّ أهمية الحفاظ على هذا النظام البيئي الفريد لا يمكن تجاهلها لحماية التنوع البيولوجي وإنقاذ الأنواع المهددة بالانقراض. وتبين أهمية هذه الدراسة في خصوصية النظام البيئي للإقليم المدروس، فضلًا عن ندرة الدراسات التي تتناول تصنيفه مناخيًّا، ناهيك عن أنَّ هذه الدراسة تُعدّ من المحاولات القليلة التي ترصد حالة الغطاء النباتي في هذا الإقليم وفقًا لكل تصنيف مناخي.

### منهجية الدراسة:

**أولاً: إقليم الدراسة:** يمثل إقليم الجبل الأخضر سلسلة من المصايب التي يصل ارتفاعها إلى 881 متراً فوق مستوى سطح البحر متدةً على مساحةٍ تقارب 18756.87 كم<sup>2</sup> في الجزء الشمالي الشرقي من ليبيا، ويظهر الإقليم على شكل مصاطب محددةً بمحافات تقعُ بها الأودية، مما ساعد على ظهور مجموعة متنوعة من النظم البيئية. يحد الإقليم من الشمال البحر المتوسط، ومن الجنوب خط تasioي الارتفاع (الكتور) 100 متر، ويمتد من منطقة أم الرزم شرقًا وصولًا إلى سهل بنغازي في الغرب، وعلى ذلك فإنه ينحصر بين دائريي عرض 25.81°S و 33.40°S و 32°E و 31°E و 29°E و 25.81°E شمالًا، وخطي طول 19°E و 20°E و 22°E و 25.80°E و 58.90°E شرقًا،

شكل (1).

الشكل (1) حدود إقليم الدراسة.



المصدر: من إعداد الباحثين، من خلال منصة Google earth pro، وباستخدام برنامج ArcMap

\* تم الاعتماد على الحد الجنوبي لإقليم الجبل الأخضر في هذه الدراسة بناءً على غرضها، وتحذر الإشارة إلى أنَّ هناك الكثير من الحدود حول الحدود الجنوبيَّة للجبل الأخضر بين الباحثين.

\* تم تحديد مساحة المنطقة حسب أذونج الارتفاعات الرقمية وفقًا لخطوط تساوي الارتفاع (الكتور).

### الجدول (3) الأنطقة المناخية حسب معامل الجفاف لإمبرجيه.

نوع المناخ	معيار معامل الجفاف
رطب	من 90 فأكثر
شبه رطب	50-90
شبه جاف	30-50
جاف	20-30
جاف جداً	أقل من 20

(Emberger, 1955)

- **تصنيف ثورنثويت:** هو نظام تصنيف مناخي يُستخدم لتحديد وتقييم أنواع المناخ الرئيسية والفرعية بناءً على معامل الجفاف الذي يأخذ في الاعتبار عوامل مختلفة مثل العجز والفائض المائي، والتوازن المائي الحقيقي والمحتمل، ومؤشر الرطوبة لتصنيف المناخات. وبعد هذا التصنيف الأكثر دقة وحساسية لأنواع المناخ مقارنة بالتصنيفات الأخرى، حيث وظّف في دراسات ومناطق عديدة لتقييم تغير المناخ وتصنيف أنواعه. ويحسب معامل الجفاف حسب المعادلة الآتية (Thornthwaite, 1931):

$$Ai = 1.65 \left( \frac{r}{t+12.2} \right)^{10/9}$$

حيث:

**Ai** = معامل الجفاف**r** = الأمطار السنوية (مليم)**t** = متوسط درجة الحرارة السنوي (مئوي)

ويوضح الجدول التالي تصنيف المناخ حسب هذا المعامل.

### الجدول (4) الأنطقة المناخية حسب معامل الجفاف لثورنثويت.

نوع المناخ	معيار القيمة الفعلية للتساقط
رطب جداً	من 128 فأكثر
رطب	من 64 إلى 127
شبه رطب	من 32 إلى 63
شبه جاف	من 16 إلى 31
جاف	من 15 فأقل

(Thornthwaite, 1931)

#### رابعاً: تحليل البيانات:

**1. التحليل المكاني:** يتضمن التحليل المكاني دراسة العلاقة بين التصنيف المناخي وتدهور الغطاء النباتي مكانيًا عن طريق تحديد أشد الأقاليم المناخية تأثيرًا بتدور الغطاء النباتي بتوظيف التقنيات الجيومكانية.

#### مناقشة النتائج:

**أولاً: التصنيفات المناخية في إقليم الدراسة:** يتميز الجبل الأخضر

### 2. التصنيفات المناخية:

- **تصنيف كوبن:** هو نظام يُستخدم على نطاق واسع لتصنيف المناخ بناءً على أمثل درجة الحرارة وهطول الأمطار، حيث يهتم بتوزيع النبات الطبيعي المحلي كدلالة على توزيع مناطق مناخية مختلفة على سطح الأرض، ويقسم التصنيف العالم إلى خمس أنطقة مناخية اعتمادًا على معايير درجة الحرارة والأمطار والنبات، وسوف يستعمل هذا التصنيف في الدراسة نظرًا لربطه لاختلافات المحلية للغطاء النباتي بنوع المناخ، ويستخرج وفقاً للجدول التالي (Köppen & Geiger, 1930):

### الجدول (2) الأنطقة المناخية حسب تصنيف كوبن.

نوع المناخ	مناطق مطراها شتوية
صحراوي	الأمطار = أو أصغر من درجة الحرارة
شبه جاف	الأمطار = أو أصغر من 2 درجة الحرارة
رطب	الأمطار = أو أكبر من 2 درجة الحرارة

(Köppen &amp; Geiger, 1930)

- **معامل الجفاف لإمبرجيه:** في عام 1955، حاول عالم البيئة الفرنسي لويس إمبرجيه تحسين معادلة الجغرافي الفرنسي دي مارتون، وأثبتت أن القيمة الفعلية لهطول الأمطار تتأثر باختلافات درجات الحرارة السنوية، وقال إنه من المهم أن يعتمد علماء الأحياء وعلماء النبات الزراعي على تصنيف العوامل المناخية التي تؤثر بشكل مباشر على بيولوجيا الكائنات الحية مثل هطول الأمطار، درجة الحرارة السنوية وتوزيعها الموسمية، وجود أو عدم وجود فترات جفاف واحتلافاتها من حيث المدة والشدة، والتباخر، ودرجة الحرارة القصوى في أكثر شهور السنة حرارة، وأدنى درجة حرارة في أبجد شهور السنة (لأن هاتين الدرجتين تمثلان مجال حياة النبات)، وبناء على ذلك سيتم الاعتماد على معامل إمبرجيه للجفاف المستخرج وفقاً للفيصل بين كمية الأمطار ونطاق درجة الحرارة السنوي على النحو الآتي (Emberger, 1955):

$$Q = \frac{R}{(M + m) * (M - m) * 100}$$

حيث:

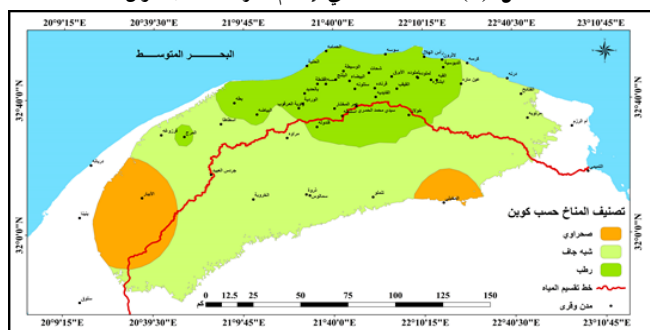
**Q** = معامل الجفاف**R** = الأمطار السنوية بالممليميتر**M** = متوسط درجة الحرارة العظمى لأحر شهور السنة بالدرجة المئوية**m** = متوسط درجة الحرارة الصغرى لأبجد شهور السنة بالدرجة المئوية

من المصطبة الأولى في مناطق مثل الوسيطة والمرج، ويمتد على أغلب الأجزاء الشمالية وقسم من الأجزاء الجنوبيّة من المصطبة الثانية وتمثله مناطق عديدة كالبيضاء وشحات ومسة وقصر ليبها والقبة والأبرق وقندولة وزاوية العرقوب، بالإضافة إلى كامل مساحة المصطبة الثالثة ممثلةً في عمر المختار والفايدية وسلنطة وسيدي الحمرى.

أما النطاق شبه الجاف، فيمثل أكبر نسبة من مساحة إقليم الدراسة، حيث تبلغ حوالي  $11628.9 \text{ كم}^2$ ، ويقع بين المناطق الربطية في الشمال والمناطق الصحراوية في الجنوب، ويتميز بصيفٍ حارٍ وجافٌ وشتاءً معتدلً قليلاً للأمطار، وتمثله في السهل الساحلي درنة وكرسة والفتائح، وفي مناطق عديدة شرق وغرب المصطبة الأولى كمرتبة والمناطق الحبيطة بالمرج. أما على المصطبة الثانية فيمتد على نطاق واسع في مناطق مثل مراوه وجردس العبيد، بينما ينحدر مثلاً على السفح الجنوبي في مناطق تنملو وذروة وسمالوس، ويعتزز هذا النطاق بأمطار أقل من سابقه وغطاء نباتي يعلب عليه الطابع الرعوي.

ويمثل النطاق الصحراوي آخر أنطقة هذا التصنيف في الإقليم شاغلاً مساحةً أقل من النطاقين السابقين، حيث تقدر مساحته بحوالي  $2483.06 \text{ كم}^2$ ، ويقع في الجنوب بعيداً عن تأثير البحر المتوسط، ويتسم بالجفاف الشديد وارتفاع درجات الحرارة على مدار العام مع كميات قليلة جداً من الأمطار، ويتخلّى في منطقة الأبيار غرب المصطبة الأولى ومنطقة المخييلي على السفح الجنوبي.

شكل (2) التصنيف المناخي لإقليم الدراسة حسب كوبن



المصدر: من إعداد الباحثين، بناءً على البيانات المناخية وتصنيف كوبن، استخدام ArcMap

الجدول (5) مساحات الأنطمة المناخية حسب تصنيف كوبن.

التصنيف	المساحة كم <sup>2</sup>
رطب	4644.88
شبه جاف	11628.94
صحراوي	2483.06
المساحة الكلية	18756.88

المصدر: بيانات الشكل (2)

بتنوعه الجغرافي وتضاريسه الجبلية المتفاوتة، حيث تباين الارتفاعات بشكل ملحوظ، مما يؤدي إلى زيادة معدلات الأمطار والانخفاض درجات الحرارة في المناطق المرتفعة مقارنة بالمناطق المنخفضة (Mahklof & Etayeb, 2018)، وهو ما يجعل من الصعب تطبيق تصنيف واحد على كامل المنطقة.

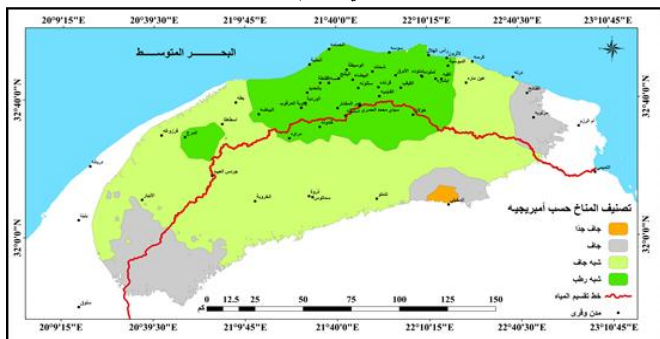
كما يقع الجبل الأخضر في موقعٍ انتقالٍ بين البحر المتوسط والصحراء الليبية، وعليه فهو يتأثر بالرياح البحرية الطربة والمعتدلة القادمة من البحر المتوسط من جهة، وبالكتل الهوائية الجافة والحارّة القادمة من الصحراء الكبرى من جهة أخرى (Atkinson, 2023)، ما أوجد تداخلاً في التأثيرات المناخية عقد تصييفه بدقة ضمن الأنظمة التقليدية. إلى جانب ذلك، وتشهد المنطقة تغيرات موسمية حادة بين الفصول، حيث تكون الأمطار وفيرة في الشتاء والربيع، بينما يشتد الجفاف في الصيف، مما يجعل تحديد المناخ بين معتدل أو شبه جاف وفقاً لتصنيف كوبن تحدياً كبيراً بسبب التفاوت في كميات الأمطار (Joaquín et al., 2021).

كما أنّ نقص محطات الرصد المناخي الكافية لتغطية تضاريس المنطقة وظروفها الجوية المتنوعة يؤدي إلى شح البيانات المناخية الدقيقة، مما يعكس على دقة التصنيف المناخي، وعليه فإنّ تصنيف مناخ الجبل الأخضر يتطلب تحليلاً دقيقاً يأخذ في الاعتبار العوامل الجغرافية والموسمية المتنوعة، ويستدعي وضع تصنيف خاص أو تعديل أنظمة التصنيف التقليدية لتناسب هذه المنطقة الفريدة. وفي هذا الصدد، ستعتمد الدراسة على ثلاثة تصنيفات عالمية رئيسية يمكن أن تقدم رؤية شاملة تتضمن هذه الاختلافات البيئية، وهي تصنيف كوبن، وأميرجيه، وثورنبوت.

**1. تصنیف إقليم الدراسة حسب كوبن:** من الشكل (2) والجدول (5)، يمكن تصنیف مناخ الجبل الأخضر حسب تصنیف كوبن إلى ثلاثة أنطقة رئيسية، وهي: النطاق الطرب، الذي يغطي القسم الشمالي والمناطق القرية من البحر المتوسط من الإقليم بمساحة تصل إلى  $4644.8 \text{ كم}^2$ ، حيث يتميز بصيفٍ حارٍ وجافٍ وشتاءً معتدلً ومطر، وهذا يجعله مناسباً لنمو النباتات المتوسطية مثل الزيتون والخروب (Strohmenger, et al., 2024)، وتترکز أمطاره خلال الشتاء والربيع مع فترات جفاف صيفية. يشمل هذا النطاق معظم السهل الساحلي في المناطق الممتدة من الأثرون وراس الهرال وصولاً إلى سوسة والحمامة والخيبة، وكذلك على مساحات شاسعة

على مدار العام، مما يجعل هذه المناطق غير قادرة على دعم غطاء نباتي طبيعي باستثناء بعض المحوليات. يُظهر تصنيف إمبرجيه تنوعاً مناخياً واضحاً في الجبل الأخضر يعكس تأثير موقعه المغربي، ويعين على إحداث تباين في نوع الغطاء النباتي الطبيعي وكثافته بين النطاق شبه الرطب في الشمال والنطاق الجاف جداً في الجنوب.

الشكل (3) التصنيف المناخي لإقليم الدراسة حسب إمبرجيه.



المصدر: من إعداد الباحثين، بناءً على البيانات المناخية وتصنيف إمبرجيه، استخدام ArcMap

الجدول (6) مساحات الأنطمة المناخية حسب تصنيف إمبرجيه.

المساحة كم <sup>2</sup>	المناخ
4845.02	شبه رطب
10784.95	شبه جاف
3014.81	جاف
112.00	جاف جداً
18756.88	المساحة الكلية

المصدر: بيانات الشكل (3)

3. تصنیف إقليم الدراسة حسب ثورنشويت: وفقاً للشكل (4) والجدول (7)، يمكن تحديد ثلاثة أنظمة مناخية في إقليم الدراسة حسب تصنیف ثورنشويت، حيث يغطي النطاق شبه الرطب مساحة تقدر بـ 3199.56 كم<sup>2</sup>، ويتركز في السهل الساحلي ممتداً من حوالي 400 متر شرق وادي البطوم شرقاً إلى حوالي 300 متر شرق مصب وادي الكوف غرباً، ويتند في المصطبة الأولى من الحدود الشرقية لحوض وادي البطوم شرقاً وحتى الحدود الشرقية لحوض وادي بالعارض غرباً، بالإضافة إلى مساحة صغيرة تقع جنوب شرق مدينة المرج. أما في المصطبة الثانية فتمثله مساحة كبيرة على السفح الشمالي ضامنةً مناطق عدّة كالبيضاء وشحات ومسه والأبرق، بالإضافة إلى مساحة أصغر على السفح الجنوبي جنوب الحافة الثالثة، ويعطي امتداده جميع مساحة المصطبة الثالثة باستثناء بقعة صغيرة بمحاذة طريق حرس- تنملو. وتسهم التأثيرات البحرية والارتفاع عن مستوى سطح البحر في تلطيف درجات الحرارة ووفرة كميات الأمطار التي

2. تصنیف إقليم الدراسة حسب إمبرجيه: من الشكل (3) والجدول (6)، يمكن تحديد أربعة أنظمة مناخية حسب تصنیف إمبرجيه في إقليم الجبل الأخضر، حيث يغطي النطاق شبه الرطب مساحة تقدر بـ 4845.02 كم<sup>2</sup>، ويتركز في الشمال بالقرب من الساحل المطل على البحر المتوسط، حيث تحدد منطقة الأثرون شرقاً، أمّا حده الغربي فيقع إلى الغرب من مصب وادي اللوب بحوالي 5 كم، ويمتد هذا النطاق على المصطبة الأولى بنفس امتداده من الشرق إلى الغرب في السهل الساحلي إضافةً إلى مساحة صغيرة حول مدينة المرج. أمّا في المصطبة الثانية فتحده ممثلاً في منطقة متدة بين القبة والبلاضا في الشمال وأجزاء عديدة من جنوبها بدءاً من وادى مراروه وقندهله في الغرب وصولاً إلى جنوب شرق منطقة خولان شرقاً؛ كما يضم هذا النطاق كامل مساحة المصطبة الثالثة.

وفي هذا النطاق تسود تأثيرات بحرية تجعل المناخ أكثر اعتدالاً مع صيف دافئ وشتاء بارد إلى معتدل، كما يتميز بخطول أمطار تزيد عن 550 ملم تتركز في المنطقة المتدة ما بين شحات ومسه، داعماً غطاءً نباتياً كثيفاً، خاصة في حوض وادي الكوف.

ويأتي تالياً النطاق شبه الجاف، علمًا أنه الأكبر مساحةً حيث يغطي 10784.95 كم<sup>2</sup> ليحيط بالنطاق السابق من ثلاثة اتجاهات في شرقه، ومن جميع الاتجاهات في غربه، مهيمناً على مناطق عدّة من المصطبة الأولى والثانية والسفوح الجنوبي، ويمثل هذا النطاق نقلةً من المناطق الرطبة شمالاً إلى الأكثر جفافاً جنوباً.

ويتصف هذا النطاق بشتاءً معتدل وصيفاً حاراً مع أمطار تتراوح بين 180 إلى 442 ملم، ورغم قلة أمطاره إلا أنه يتبع فرصاً محدودة للزراعة المحلية كما يدعم غطاءً نباتياً ضعيفاً.

أمّا النطاق الجاف فيغطي مساحة 3014.81 كم<sup>2</sup>، ويقع في الأطراف الداخلية الجنوبيّة والجنوبيّة الشرقيّة والجنوبيّة الغربية لإقليم الدراسة، مع بعض البقع المتفرقة بالقرب من الحافة الأولى غرب الإقليم. وبسبب موقعه يتأثر هذا النطاق بالكتل الهوائية الصحراوية، وتتراوح أمطاره بين 202 و320 ملم سنويًا، كما يتميز بارتفاع درجات الحرارة، خاصة في الصيف، مع نشاط زراعي محدود وغطاء نباتي ضعيف مكون من نباتات حولية.

وأخيراً يمثل النطاق الجاف جداً أقل التصنيفات مساحة بـ 112 كم<sup>2</sup>، ويقع في الجنوب الشرقي من إقليم الدراسة متمركزاً حول منطقة المخيلى، حيث تزداد فيه درجات الحرارة وتقل الأمطار بشكل كبير

إقليم الدراسة عانى من تردّ وتدّهور شديد خلال الفترة من 2000 إلى 2024، يمكن تسليط الضوء على هذا التدهور بشكل أكثر تفصيلاً كما يأتي:

**1. الغطاء النباتي الكثيف:** تعرضت فحة الغطاء النباتي الكثيف في إقليم الدراسة لتدّهور ملحوظ يتضح في تراجع مساحته من 1220.47 كم<sup>2</sup> عام 2000 إلى 261.44 كم<sup>2</sup> عام 2024 بنسبة 78.58%.

**2. الغطاء النباتي المتوسط:** زادت مساحة هذه الفحة بنسبة 36.57%， حيث ارتفعت من 2881.78 كم<sup>2</sup> في عام 2000 إلى 3935.55 كم<sup>2</sup> في عام 2024، ولا تدل هذه الزيادة على تحسن في حالة الغطاء النباتي، بل تشير إلى تحول جزء كبير من الأرضي التي كانت في الأصل كثيفة النباتات إلى الفحة الأدنى، هذا التحول بين التأثيرات السلبية للتتصحر والعوامل البيئية الأخرى.

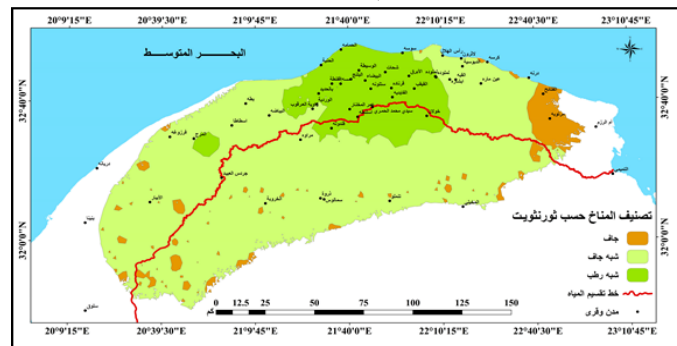
**3. الغطاء النباتي ضعيف:** شهدت هذه الفحة انخفاضاً حاداً بنسبة 63.08%， حيث تقلّصت مساحتها من 6309.26 كم<sup>2</sup> في عام 2000 إلى 2329.08 كم<sup>2</sup> في عام 2024، يعكس هذا التراجع الملحوظ مدى التدهور البيئي الناجم غالباً عن التأثيرات السلبية للتوسيع العمراني والأنشطة البشرية وممارسات الزراعة التقليدية التي تسهم في تردي خصائص التربة.

**4. الغطاء النباتي ضعيف جداً:** تمددت هذه الفحة من الغطاء النباتي بنسبة 46.56%， حيث اتسعت مساحتها من 8345.37 كم<sup>2</sup> في عام 2000 إلى 12230.81 كم<sup>2</sup> في عام 2024، ويعكس هذه الزيادة الكبيرة تدهوراً في الظروف البيئية ما أدى إلى تغير معدلات نمو وكتافة النباتات، ومن المرجح أن يكون توسيع هذه الفحة ناتجاً عن تضاؤل كميات الأمطار.

وعن طريق تحليل تباين فقات الغطاء النباتي في إقليم الجبل الأخضر بين عامي 2000 و2024، يمكن استنتاج أن تغير خصائص المناخية والأنشطة البشرية كانت له تأثيرات عميقية على النظام البيئي والتنوع النباتي، حيث أن الانحسار الملحوظ في مساحة الغطاء النباتي الكثيف والضعف يدل على التدهور البيئي وتفاقم مشكلة التصحر في الإقليم نتيجة للتوسيع العمراني والأنشطة الزراعية والحرائق، إضافة إلى ميل المناخ العام إلى الجفاف. وبالرغم من زيادة بعض فقات الغطاء النباتي كالمتوسط والضعف جداً، فإن ذلك يشير إلى تحولات سلبية وليس إلى تحسن في الحالة البيئية العامة.

ترى عن 550 ملم في بعض أجزاءه. ويتكون هذا النطاق بخطاءه الباقي الكثيف نسبياً، خصوصاً على السفح الشمالي. أما النطاق شبه الجاف فهو الأكبر مساحةً، حيث يغطي 14520.96 كم<sup>2</sup>، محاطاً بالنطاق السابق من ثلاثة اتجاهات في الشرق، ومن جميع الاتجاهات في البقعة الغربية؛ ويتميز بشتاء بارد نسبياً وصيفاً حار مع أمطار متوسطة، وغطاء نباتي متواضع إلى ضعيف. ويعطي النطاق الجاف مساحة أصغر من سطحه يصل إلى 1036.35 كم<sup>2</sup>، ويتووضع في أقصى الأجزاء الشرقية والجنوبية الشرقية من الإقليم، مع بعض البقع المتفرقة داخل إطار النطاق شبه الجاف وصولاً إلى أقصى الجنوب الغربي. ويتميز مناخه بصيف شديد الحرارة وشتاء معتدل إلى بارد، وكيميات أمطار محدودة، ويضم هذا النطاق غطاء نباتياً ضعيفاً إلى ضعيف جداً.

الشكل (4) التصنيف المناخي لإقليم الدراسة حسب ثورنبوت.



المصدر: من إعداد الباحثين، بناءً على البيانات المناخية وتصنيف ثورنبوت، استخدام ArcMap.

جدول (7) مساحات الأنظمة المناخية حسب تصنيف ثورنبوت.

المناخ	المساحة كم <sup>2</sup>
شبه رطب	3199.56
شبه جاف	14520.96
جاف	1036.35
المساحة الكلية	18756.88

المصدر: بيانات الشكل (4)

من استعراض التصنيفات المناخية السابقة، يمكننا استنتاج أن أكثرها ملاءمة وقرأً لواقع إقليم الدراسة هو تصنيف إمبريجي، فنقسميه للإقليم إلى أربعة أنظمة مناخية متمايزة جعل توزيعها المكاني يلامس بشكل أدق الاختلافات المحلية لعناصر الطبيعة وتاثيراتها، بالإضافة إلى أنه من أفضل التصنيفات المعبرة عن العلاقة بين المناخ والغطاء النباتي في حوض البحر المتوسط (Vessella & Schirone, 2022). ثانياً: تدهور الغطاء النباتي في إقليم الدراسة: بالنظر إلى الشكل (5) والجدول (8) يمكن القول إن الغطاء النباتي بفاته المختلفة في

تدهوراً جسيماً في حالة الغطاء النباتي، فقد تحولت مساحات كبيرة إلى الفئة النباتية الضعيفة جداً، بالمقابل، فإنّ فئة الغطاء النباتي الضعيف انخفضت بنسبة 48.57%， حيث تقلصت مساحتها من 1645.42 كم<sup>2</sup> في عام 2000 إلى 846.19 كم<sup>2</sup> في عام 2024، وهو ما يمكن تفسيره بتحول المساحة المفقودة إلى الفئة الأدنى.

وسجلت الفئة المتوسطة زيادة بنسبة 23.59%， حيث زادت من 1733.34 كم<sup>2</sup> في عام 2000 إلى 2142.18 كم<sup>2</sup> في عام 2024، ولا يمكن اعتبار هذه الزيادة تحسناً حيث أن المساحة المزدادة تتجه عن تردي في حالة فئة الغطاء النباتي الكثيف التي تعرضت بدورها لانخفاض حاد بنسبة 79.59%， حيث تقلصت مساحتها من 1101.91 كم<sup>2</sup> في عام 2000 إلى 224.89 كم<sup>2</sup> في عام 2024، ما يعكس خسارة فادحة ومؤشر على تدهور بيئي شديد.

وُظهر الأرقام السابقة حالة تدهور خطيرة في الغطاء النباتي، ويبلغ معدل التغير الإجمالي 174.78% في نطاق المناخ الرطب عموماً (معدل التغير الإجمالي يمثل مقدار تغير كثافة الغطاء النباتي من فئة إلى أخرى، حتى وإن لم يحدث تناقض في مساحتها الكلية)، كما تبين إشارته السالبة أو الموجبة أي اتجاهي التغير، زيادة أم نقصاناً، كان الأكثر سيطرة، وهذا ما يستلزم اتخاذ إجراءات عاجلة لإنقاذ ما هو قائم ومحاولة إحياء واستعادة ما فقد.

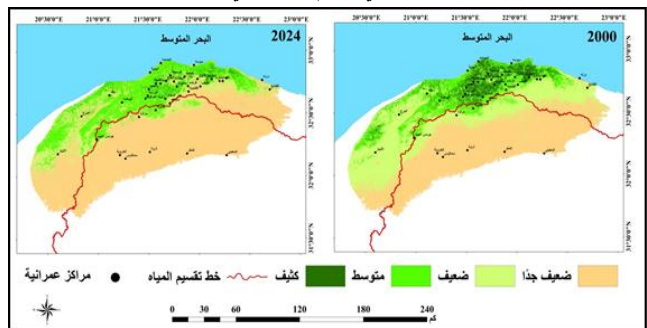
**الجدول (9)** تدهور الغطاء النباتي داخل المناخ الرطب حسب تصنيف كوبن  
في الفترة من 2000-2024

نسبة التغير %	كم <sup>2</sup> 2024	كم <sup>2</sup> 2000	حالة النبات
803.7	1424.32	157.61	ضعيف جداً
-48.57	846.19	1645.42	ضعيف
23.59	2142.18	1733.34	متوسط
-79.59	224.89	1101.91	كثيف
174.78	4637.58	4638.28	المجموع/المعدل

المصدر: بيانات الشكل (6)

**ب. المناخ شبه الجاف:** من الجدول (10) يمكن استخلاص تغيرات الغطاء النباتي في منطقة المناخ شبه الجاف حسب تصنيف كوبن، والتي تُظهر تبايناً واضحًا بين الفئات المختلفة في فترة الدراسة، ففئة الغطاء النباتي الضعيف جداً شهدت زيادة بنسبة 20.84%， حيث ارتفعت مساحتها من 7458.95 كم<sup>2</sup> في عام 2000 إلى 9013.55 كم<sup>2</sup> في عام 2024، وهي دلالة واضحة على التدهور،

**الشكل (5)** مقارنة حالة الغطاء النباتي بإقليم الدراسة في الفترة من 2000-2024



المصدر: من إعداد الباحثين، اعتماداً على بيانات الأقمار Landsat 5&8، ArcMap واستخدام SENTINEL-2B

**الجدول (8)** حالة الغطاء النباتي في إقليم الدراسة خلال الفترة من 2000-2024

الغطاء النباتي	كم <sup>2</sup> 2000	كم <sup>2</sup> 2024	نسبة التغير %
كثيف	1220.47	261.44	-78.58
متوسط	2881.78	3935.55	36.57
ضعيف	6309.26	2329.08	-63.08
ضعيف جداً	8345.37	12230.81	46.56
المجموع والمعدل	18756.88	18756.88	14.63

المصدر: بيانات الشكل (5)

**ثالثاً: تدهور الغطاء النباتي وفق التصنيفات المناخية:** يُعد تدهور الغطاء النباتي بإقليم الجبل الأخضر من القضايا البيئية الحرجية التي ترتبط ارتباطاً وثيقاً بالمناخ، كما أن تنوع تضاريس ومناخ الجبل الأخضر ينعكس في تباينات كثافة ونوع الغطاء النباتي فيه.

ومن هنا تتصبح أهمية دراسة العلاقة بين التصنيفات المناخية وتدهور الغطاء النباتي لفهم التأثيرات المعقّدة التي يواجهها النظام البيئي في الجبل الأخضر، تطلاعاً لتحديد السياسات والإجراءات الضرورية لمكافحة التصحر ومظاهره المختلفة.

وفيما يلي سيتم التعرّض لمدى تدهور الغطاء النباتي، الذي يرهن عليه تغير مساحة فئات كثافتها، استناداً إلى التصنيفات المناخية المطبقة على إقليم الدراسة:

### 1. تدهور الغطاء النباتي حسب تصنيف كوبن:

**أ. المناخ الرطب:** تعكس بيانات الجدول (9) والشكل (6) تغيرات جلية في الغطاء النباتي في منطقة المناخ الرطب، حيث تُظهر اتجاهات متباينة بين الفئات المختلفة.

شهدت الفئة ذات الغطاء النباتي الضعيف جداً زيادة هائلة بنسبة 803.7%， حيث ارتفعت مساحتها من 157.61 كم<sup>2</sup> في عام 2000 إلى 1424.32 كم<sup>2</sup> في عام 2024، وهو ما يشخص

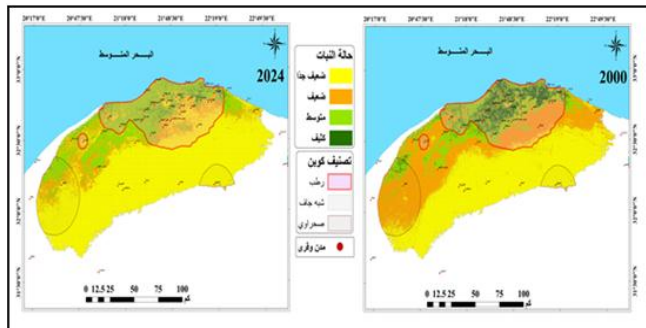
حيث ارتفعت مساحتها من  $210.83 \text{ كم}^2$  عام 2000 إلى  $349.49 \text{ كم}^2$  عام 2024، وفُتئت الفئة الكثيفة بتراجعٍ هائِلٍ بنسبة 94.66%， حيث تقلصت مساحتها من  $34.49 \text{ كم}^2$  في عام 2000 إلى  $1.84 \text{ كم}^2$  فقط في عام 2024، مما يؤكّد على فداحة التدهور الذي طالها. وعلى الرغم من الأرقام المذكورة آنفًا، فإنَّ المعدل الإجمالي للتغير يسجل نسبة صغيرة بلغت 5.31%.

الجدول (11) تدهور الغطاء النباتي داخل المناخ الصحراوي  
حسب تصنيف كوبن في الفترة من 2000-2024

نسبة التغيير %	$\text{كم}^2$ 2024	$\text{كم}^2$ 2000	حالة النبات
123.40	1698.41	760.24	ضعيف جداً
-73.29	419.40	1570.06	ضعيف
65.77	349.49	210.83	متوسط
-94.66	1.84	34.49	كثيف
5.31	2469.14	2575.62	المجموع/المعدل

المصدر: بيانات الشكل (6)

الشكل (6) تدهور الغطاء النباتي حسب تصنيف كوبن في الفترة من 2000-2024.



المصدر: من إعداد الباحثين، اعتماداً على البيانات المناخية وبيانات الأقمار Landsat 5&8، ArcMap و باستخدام SENTINEL-2B.

## 2. تدهور الغطاء النباتي حسب تصنيف إمبرجيه:

أ. المناخ شبه الرطب: يكشف الجدول (12) والشكل (7) عن تغيرات الغطاء النباتي في نطاق المناخ شبه الرطب وفقاً لتصنيف إمبرجيه، وبطهوان تحولات كبيرة ومتغيرة في الفئات النباتية المختلفة بين عامي 2000 و 2024. فشهدت فئة الغطاء النباتي الضعيف جداً زيادة هائلة بنسبة 446.81% عاكسةً تدهوراً بيئياً خطيراً قد يكون ناتجاً عن الأنشطة البشرية غير المستدامة.

وفي المقابل تراجعت فئة الغطاء النباتي الضعيف بنسبة كبيرة بلغت 50.12%， مما قد يفسر بانتقال المساحات المفقودة إلى فئة الغطاء النباتي الضعيف جداً. أمّا الفئة المتوسطة فتزايدت بحو 25.19%， وهي زيادة كانت في جملتها على حساب مناطق الغطاء الكثيف الذي انخفضت نسبته بشكل حاد لتبلغ 81.08%， وهو ما يؤثّر

على التقىض من ذلك، سجلت فئة الغطاء النباتي الضعيف تراجعاً حاداً بنسبة 65.55%， حيث تقلصت مساحتها من  $3077.15 \text{ كم}^2$  في عام 2000 إلى  $1060.1 \text{ كم}^2$  في عام 2024، وهذا ما يمكن أن يعود إلى تحول المساحات إلى فئة الغطاء النباتي الضعيف جداً. أمّا فئة الغطاء النباتي المتوسط فأظهرت زيادة ملحوظة بنسبة 54.54%， حيث ارتفعت مساحتها من  $923.95 \text{ كم}^2$  في عام 2000 إلى  $1427.89 \text{ كم}^2$  في عام 2024، وهي زيادة كانت في الغالب على حساب الغطاء النباتي الكثيف على غرار النطاق السابق. أمّا فئة الغطاء النباتي الكثيف فشهدت انخفاضاً كبيراً بنسبة 58.89%， حيث كانت مساحتها  $82.92 \text{ كم}^2$  في عام 2000 وأصبحت  $34.09 \text{ كم}^2$  في عام 2024، وهي إشارة سافرة على التدهور البيئي الحاصل في هذه الفئة.

وبشكل عام كان المعدل الإجمالي لنسبة التغيير منخفضاً (12.27%)، إلا أنه يعبر عن تغير في كثافة الغطاء النباتي في النطاق شبه الجاف. هذه النتائج تبيّن تحديات بيئية تحتاج استراتيجيات إدارة بيئية محكمة لتحسين الغطاء النباتي وضمان استدامته.

الجدول (10) تدهور الغطاء النباتي داخل المناخ شبه الجاف

حسب تصنيف كوبن في الفترة من 2000-2024

نسبة التغيير %	$\text{كم}^2$ 2024	$\text{كم}^2$ 2000	حالة النبات
20.84	9013.55	7458.95	ضعيف جداً
-65.55	1060.1	3077.15	ضعيف
54.54	1427.89	923.95	متوسط
-58.89	34.09	82.92	كثيف
-12.27	11535.63	11542.97	المجموع/المعدل

المصدر: بيانات الشكل (6)

ج. المناخ الصحراوي: تعرّض الغطاء النباتي في نطاق المناخ الصحراوي إلى تحولات كبيرة بين مختلف الفئات خلال فترة الدراسة، فقد حصلت فئة الغطاء النباتي الضعيف جداً على زيادة كبيرة بنسبة 123.40%， حيث ارتفعت المساحة من  $760.24 \text{ كم}^2$  في عام 2000 إلى  $1698.41 \text{ كم}^2$  في عام 2024، وهو ما يعكس تدهوراً بيئياً قد يكون مرتبطاً بزيادة الجفاف أو تدهور التربة، الجدول (11). من ناحية أخرى انخفضت مساحة الفئة الضعيفة الانخفاضاً حاداً بنسبة 73.29%， حيث تراجعت مساحتها من  $1570.06 \text{ كم}^2$  في عام 2000 إلى  $419.40 \text{ كم}^2$  في عام 2024، مما قد يشير إلى أن مساحات واسعة انتقلت من هذه الفئي إلى فئات أخرى. وبالنسبة للفئة المتوسطة فقد شهدت نمواً بنسبة 65.77%，

كبيرة في الكثافة النباتية، وقد يزيد من خطر التصحر والتدهور البيئي. وبلغ المعدل الإجمالي لتغير الغطاء النباتي 10.82%， وهي وإن كانت نسبة قليلة فهي لا تفني وجود تدهور ظهر خطورته بوضوح أكبر في المناحات الحساسة كالنطاق شبه الجاف.

**ج. المناخ الجاف:** مر المناخ الجاف بتحولات في كثافة غطائه النباتي متغيرة عن بقية الأنظمة المناخية في هذا التصنيف خلال الفترة من 2000 إلى 2024، وفقاً للجدول (14)، فئة الغطاء النباتي الضعيف جدًا سجلت زيادة ملحوظة بنسبة 39.41%， مما يشير إلى توسيع كبير في المناطق التي تعاني من تدهور شديد في الغطاء النباتي.

كما تراجعت فئة الغطاء النباتي الضعيف بشكل حاد بنسبة 86.07%， هذا التراجع قد يكون ناتجاً عن انتقال هذه المناطق إلى فئة الضعيف جدًا بسبب التدهور البيئي، أمّا الفئة المتوسطة فقد شهدت زيادة ملحوظة بلغت نسبتها 334.94%， حيث تمتدد مساحتها من 10.56  $\text{كم}^2$  عام 2000 إلى 45.93  $\text{كم}^2$  عام 2024، وهو ما يتفق مع النمط السائد في الإقليم.

أمّا الفئة الكثيفة وعلى الرغم من صغر مساحتها، فقد شهدت زيادة هائلة بلغت 215.27% يرجع أهاً حدث بسبب الأمطار المرافقية ل العاصفة دانيال 2023، وما نتج عنها من تكون برك واسعة استمر وجودها حتى بداية فصل الصيف من عام 2024 ودعمت نمواتٍ نباتيةً كثيفة، لذلك فإنَّ تأثير هذه الزيادة على حالة الغطاء النباتي العامة قد يكون مؤقتاً. وبلغ المعدل الإجمالي لتغير كثافة الغطاء النباتي 125.89%， وهي قيمة كبيرة تعكس سرعة التحولات في حالة الغطاء النباتي ضمن هذا التصنيف.

الجدول (14) تدهور الغطاء النباتي داخل المناخ شبه الجاف  
حسب تصنيف إمبريجه في الفترة من 2000-2024.

نسبة التغيير %	$\text{كم}^2$ 2024	$\text{كم}^2$ 2000	حالة النبات
39.41	2787.37	1999.42	ضعيف جداً
-86.07	134.08	962.27	ضعيف
334.94	45.93	10.56	متوسط
215.04	2.27	0.72	كثيف
125.89	2969.65	2972.97	المجموع/المعدل

المصدر: بيانات الشكل (7).

**د. المناخ الجاف جدًا:** شهدت فئة الغطاء النباتي الضعيف جدًا في هذا النطاق زيادة ضئيلة بنسبة 0.33%， حيث ارتفعت مساحته من 108.82  $\text{كم}^2$  في عام 2000 إلى 109.18  $\text{كم}^2$  في عام

سلباً على النظام البيئي في هذا النطاق.

ويظهر المعدل الإجمالي لتغيرات الغطاء النباتي قيمة مرتفعة بلغت 85.2% مشيرةً إلى التحولات الملحوظة بين فئات الغطاء النباتي المختلفة (من فئة أكتف إلى فئة أقل كثافة). وهذه النتائج تؤكد حدوث تدهور واضح في كثافة الغطاء النباتي في هذا النطاق الحيوي من الإقليم.

الجدول (12) تدهور الغطاء النباتي داخل المناخ شبه الرطب  
حسب تصنيف إمبريجه في الفترة من 2000-2024.

نسبة التغيير %	$\text{كم}^2$ 2024	$\text{كم}^2$ 2000	حالة النبات
446.81	1576.55	288.32	ضعيف جداً
-50.12	862.81	1729.72	ضعيف
25.19	2198.17	1755.83	متوسط
-81.08	201.61	1065.84	كثيف
85.2	4839.14	4839.71	المجموع/المعدل

المصدر: بيانات الشكل (7)

**ب. المناخ شبه الجاف:** حظيت فئات هذا المناخ النباتية بتحولات ملحوظة بين عامي 2000 و 2024، جدول (13)، حيث زادت مساحات فئة الغطاء النباتي الضعيف جدًا بنسبة 30.43%， مما يرمز إلى اتساع كبير في المناطق التي تعاني من تدهور غطائها النباتي بشدة ويرجح أن يكون عائدًا إلى الضغط الكبير على النظام البيئي والموارد الطبيعية في المناطق التي يغطيها.

وعلى الجانب الآخر تراجعت فئة الغطاء النباتي الضعيف بشكل كبير بنسبة 63.09%， مما يشير إلى انتقال العديد من مساحات هذه الفئة بتدهورها إلى فئة الضعيف جدًا.

جدول (13) تدهور الغطاء النباتي داخل المناخ شبه الجاف  
حسب تصنيف إمبريجه في الفترة من 2000-2024

نسبة التغيير %	$\text{كم}^2$ 2024	$\text{كم}^2$ 2000	حالة النبات
30.43	7662.22	5874.43	ضعيف جداً
-63.09	1328.66	3599.26	ضعيف
52.09	1674.95	1101.27	متوسط
-62.72	56.92	152.69	كثيف
-10.82	10722.75	10727.65	المجموع/المعدل

المصدر: بيانات الشكل (7).

أمّا الفئة المتوسطة فقد تزايدت مساحتها بنسبة 52.09%， وترجع هذه الزيادة في الغالب إلى تحول المساحات المتدهورة من الفئة الكثيفة إليها، فقد تعرض الغطاء النباتي الكثيف في هذا النطاق إلى انخفاض حادٍ وصلت نسبته إلى 62.72%， هذا التراجع يشير إلى خسارة

متکاملة تعتمد آليات موجهة للحفاظ على الموارد المائية، ودعم مقاومة التصحر.

### 3. تدهور الغطاء النباتي حسب تصنيف ثورنثويت:

**أ. المناخ شبه الرطب:** تُظهر البيانات المتعلقة بتغير الغطاء النباتي في نطاق المناخ شبه الرطب حسب تصنيف ثورنثويت، الجدول (16) والشكل (8)، تحولات كبيرة ومتباينة بين الفئات النباتية المختلفة في الفترة من 2000 إلى 2024.

فئة الغطاء النباتي الضعيف بنسبة 962.64%， حيث توسيع مساحتها من 92.42 كم<sup>2</sup> في عام 2000 إلى 982.1 كم<sup>2</sup> في عام 2024. وهذا التوسيع الكبير يعكس تدهوراً بيئياً خطيراً قد يكون ناجماً عن كثافة السكان وأنشطتهم المختلفة. أمّا فئة الغطاء النباتي الضعيف فقد تراجعت بشكل ملحوظ بنسبة 44.92%， حيث انكمشت مساحتها من 1095.74 كم<sup>2</sup> إلى 603.48 كم<sup>2</sup>، وقد يكون هذا التراجع ناجماً

عن انتقال بعض مساحات هذه الفئة إلى فئة أدنى أو أعلى.

والفئة المتوسطة شهدت زيادة بنسبة 25.28%， إذ اتسعت مساحتها من 1162.34 كم<sup>2</sup> في عام 2000 إلى 1456.12 كم<sup>2</sup> في عام 2024، وهو ما يتضح من ملاحظة تناقص الفئة الكثيفة، التي أرخت مساحات منها إلى هذه الفئة.

أمّا الفئة الكثيفة، فقد تعرضت لانخفاض حاد بنسبة 81.70%， حيث تقلصت مساحتها من 846.41 كم<sup>2</sup> في عام 2000 إلى 154.9 كم<sup>2</sup> في عام 2024. هذا التضاؤل يعكس ضغوطاً بيئية شديدة ترتبط في الغالب بالنشاط البشري المكثف في هذا النطاق. ويشير معدل التغيير الإجمالي المرتفع والبالغ 215.32% إلى تحولات واضحة بين فئات الغطاء النباتي في هذا النطاق الذي يحوي أكبر التجمعات السكانية بالإقليم وما يرافقها من أنشطة بشرية تعمق حدة التدهور.

الجدول (16) تدهور الغطاء النباتي داخل المناخ شبه الرطب حسب تصنيف ثورنثويت في الفترة من 2000-2024.

نسبة التغير %	2024 كم <sup>2</sup>	2000 كم <sup>2</sup>	حالة النبات
962.64	982.1	92.42	ضعيف جداً
-44.92	603.48	1095.74	ضعيف
25.28	1456.12	1162.34	متوسط
-81.70	154.9	846.41	كثيف
215.32	3196.6	3196.91	المجموع/المعدل

المصدر: بيانات الشكل (8).

2024، جدول (15)، وهي زيادة تأتى عن الانخفاض الحاد في مساحة فئة الغطاء النباتي الضعيف، حيث نالها التقلص بنسبة بلغت 98.34%， من 0.6 كم<sup>2</sup> في عام 2000 إلى 0.01 كم<sup>2</sup> في عام 2024، وبعكس هذا التغير الخدراً بيئياً في قدرة هذه المناطق على دعم حتى الغطاء النباتي الضعيف.

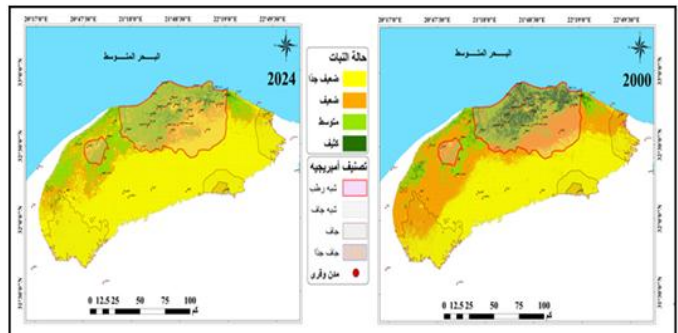
أما بالنسبة للمعدل الإجمالي لتغير الغطاء النباتي فوصل إلى 49.00%， وهو يشير في هذا التصنيف إلى تراجع مساحة الغطاء النباتي الضعيف، وإن كان الغطاء النباتي بشكل عام محدود الوجود في نطاق المناخ الجاف جداً، ورغم أنّ هذا التراجع في المساحة الكلية للغطاء النباتي يدل على مواجهة هذه المناطق لتحديات بيئية كبيرة، لكن معدل التدهور ليس حاداً بما يكفي لإحداث تغيرات حذرية على المدى القصير.

الجدول (15) تدهور الغطاء النباتي داخل المناخ الجاف جداً حسب تصنيف إميرجيه في الفترة من 2000-2024.

نسبة التغير %	2024 كم <sup>2</sup>	2000 كم <sup>2</sup>	حالة النبات
0.33	109.18	108.82	ضعيف جداً
-98.34	0.01	0.6	ضعيف
-49.00	109.19	109.42	المجموع/المعدل

المصدر: بيانات الشكل (7).

الشكل (7) تدهور الغطاء النباتي حسب تصنيف إميرجيه في الفترة من 2000-2024



المصدر: من إعداد الباحثين، اعتماداً على البيانات المناخية وبيانات الأقمار Landsat 5&8، ArcMap واستخدام SENTINEL-2B.

وما تجدر ملاحظته أنّ هذا النطاق بالذات يتفرد عن بقية أنطبة هذا التصنيف باقتصرار كثافة الغطاء النباتي فيه على فئتي الضعف والضعف جداً. وبشكل عام تؤكّد هذه النتائج على هشاشة مناطق المناخ الجاف جداً في الجبل الأخضر، إذ يظل الغطاء النباتي فيها محدود المساحة نظراً لقوسها ظروفه، حيث تتفاعل مجموعة من العوامل البيئية مثل ندرة الأمطار، وارتفاع درجات الحرارة، والانحراف والرعي الجائر بشكل مباشر مع حالة الغطاء النباتي، معززة هشاشته واحتمالية تصحره، وهو ما يجعله في مسیس الحاجة إلى استراتيجيات مستدامة

بنسبة 71.83% بالانخفاض مساحتها من 8.02 كم<sup>2</sup> إلى 2.26 كم<sup>2</sup>، الجدول (18).

في هذا النطاق أيضاً اتسم معدل التغير الإجمالي بصغره، حيث بلغت نسبة 10.42 % آخذاً بذلك نمط النطاق السابق.

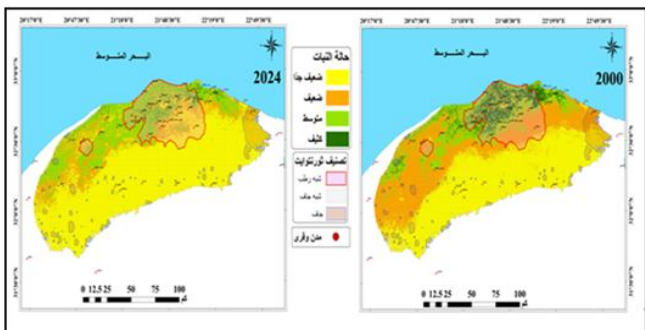
بشكل عام هناك تدهور واضح في كثافة الغطاء النباتي في الإقليم، حيث زادت المساحات ذات الغطاء النباتي الضعيف جداً والمتوسط بشكل كبير، وتقلصت مساحات الغطاء النباتي الكثيف والضعيف. ويمكن تحبب العديد من مشاكل التدهور من التركيز على برامج الإدارة المستدامة للغطاء النباتي.

الجدول (18) تدهور الغطاء النباتي داخل المناخ شبه الجاف  
حسب تصنيف ثورنثويت في الفترة من 2000-2024

% نسبة التغير	كم <sup>2</sup> 2024	كم <sup>2</sup> 2000	حالة النبات
41.09	891.91	632.16	ضعيف جداً
-79.29	71.86	346.92	ضعيف
68.33	47.35	28.13	متوسط
-71.82	2.26	8.02	كثيف
-10.42	1013.38	1015.23	المجموع/المعدل

المصدر: بيانات الشكل (8)

الشكل (8) تدهور الغطاء النباتي حسب تصنيف ثورنثويت في الفترة من 2000-2024



المصدر: من إعداد الباحثين، بالأعتماد على البيانات المناخية وبيانات الأقمار Landsat ArcMap 5&8, SENTINEL-2B 2024 واستخدام 2000.

#### الخلاصة:

تناولت هذه الدراسة تصنيف مناخ إقليم الجبل الأخضر في ليبيا وتحليل تدهور كثافة الغطاء النباتي كأحد مظاهر التصحر باستخدام ثلاثة نماذج تصنيف مناخي (كونين، وإمبرجيه، ثورنثويت)، مع الاعتماد على تقنيات الاستشعار عن بعد لرصد التغيرات في الغطاء النباتي بين عامي 2000 و2024. تؤكد هذه الدراسة على الأهمية البالغة لفهم العلاقة بين التصنيفات المناخية وتدهور كثافة الغطاء النباتي في إقليم الجبل الأخضر، الذي يعد نظاماً بيئياً فريداً في ليبيا.

ب. المناخ شبه الجاف: يظهر الجدول (17) تغييرات لافتة في مساحات الفئات النباتية بين عامي 2000 و2024 في منطقة المناخ شبه الجاف، مسحلاً تبايناً كبيراً في كثافة الغطاء النباتي، حيث شهدت بعض الأنواع زيادة في مساحتها بينما تراجعت أخرى بشكل ملحوظ.

بالنسبة للفئة النباتية الضعيفة جداً فوصلت زيادة بنسبة 35.99% في المساحة من 7545.50 كم<sup>2</sup> إلى 10260.95 كم<sup>2</sup>، يفسرها التناقض الحاصل في الفئة الضعيفة البالغة نسبته 65.97%， حيث انخفضت المساحة من 1650.35 كم<sup>2</sup> إلى 4849.98 كم<sup>2</sup> كاشفةً تدهوراً بيئياً في هذه الفئة. في المقابل شهدت الفئة المتوسطة زيادة بنسبة 44.01%， فتمددت مساحتها من 1677.92 كم<sup>2</sup> إلى 2416.41 كم<sup>2</sup>، بينما تقلصت الفئة الكثيفة بصورة حادة وصلت نسبتها 71.59%， حيث انحسرت المساحة من 364.89 كم<sup>2</sup> إلى 103.67 كم<sup>2</sup>. وبلغ معدل التغير العام 14.39%， وهي لا تعد نسبة كبيرة مقارنة بالنطاق السابق.

الجدول (17) تدهور الغطاء النباتي داخل المناخ شبه الجاف

حسب تصنيف ثورنثويت في الفترة من 2000-2024.

% نسبة التغير	كم <sup>2</sup> 2024	كم <sup>2</sup> 2000	حالة النبات
35.99	10260.95	7545.50	ضعيف جداً
-65.97	1650.35	4849.98	ضعيف
44.01	2416.41	1677.92	متوسط
-71.59	103.67	364.89	كثيف
-14.39	14431.38	14438.29	المجموع/المعدل

المصدر: بيانات الشكل (8)

ج. المناخ الجاف: فئة النبات الضعيف جداً في هذا المناخ نالت زيادة ملحوظة بنسبة 41.09%， حيث ارتفعت مساحتها من 632.16 كم<sup>2</sup> إلى 891.91 كم<sup>2</sup>، هذه الزيادة تشير إلى مقدار التدهور الذي تعاني منه المنطقة في التحول من فئات أكثر كثافة إلى فئات أدنى كثافة. أمّا فئة النبات الضعيف، في المقابل، فقد عانت من تراجع حاد بنسبة 79.29%， حيث انخفضت المساحة من 346.92 كم<sup>2</sup> إلى 71.86 كم<sup>2</sup>، وقد يعكس هذا تحديات بيئية مثل التصحر أو سوء الإدارة البيئية أو سوء استغلال الأرض. وزادت الفئة المتوسطة هي الأخرى بنسبة 68.30%， حيث ارتفعت مساحتها من 28.13 كم<sup>2</sup> إلى 47.35 كم<sup>2</sup>، وهو ما يدل على التدهور الكبير الطارئ على فئة النبات الكثيف، حيث تقلصت

- Burgener, L., Hyland, E., Reich, B. J., & Scotese, C. (2023). Cretaceous climates: Mapping paleo-Köppen climatic zones using a Bayesian statistical analysis of lithologic, paleontologic, and geochemical proxies. *Palaeogeography, Palaeoclimatology, Palaeoecology*, 613, 111373.
- Emberger, L. (1955) Une classification Biogéographique des Climats. Recueil des Travaux des Laboratoires de Botanique, Géologie et Zoologie de la Faculté des Sciences de L'Université de Montpellier, Série Botanique, 7, 3-43.
- Gommes, R., & di Caracalla, V. D. T. (1979). The integration of Remote Sensing and agrometeorology in FAO. *di Caracalla*, 1-00100.
- Gutierrez, L., Huerta, A., Sabino, E., Bourrel, L., Frappart, F., & Lavado-Casimiro, W. (2023). Rainfall Erosivity in Peru: A New Gridded Dataset Based on GPM-IMERG and Comprehensive Assessment (2000–2020). *Remote Sensing*, 15(22).
- Hanberry, B. B. (2023). Global Climate Classification and Comparison to Mid-Holocene and Last Glacial Maximum Climates, with Added Aridity Information and a Hypertropical Class. *Earth*, 4(3).
- Huang, F., Jiang, S., Zhan, W., Bechtel, B., Liu, Z., Demuzere, M., ... & Chen, J. (2023). Mapping local climate zones for cities: A large review. *Remote Sensing of Environment*, 292, 113573.
- Joaquín, C., Neuman, M., Rojas, A., Eriksson, A., & Rosvall, M. (2021). Regularities in species' niches reveal the world's climate regions. *eLife*, 10.
- Katyal, J. C., & Vlek, P. L. (2000). Desertification: concept, causes and amelioration (No. 33). ZEF discussion papers on development policy.
- Köppen, W., & Geiger, R. (Eds.). (1930). *Handbuch der klimatologie* (Vol. 1). Berlin: Gebrüder Borntraeger.
- Lal, R. A. T. T. A. N. (2001). Soil degradation by erosion. *Land degradation & development*, 12(6).
- Mahklouf, M. H., & Etayeb, K. S. (2018). Biodiversity in Libya. In *Global Biodiversity* (pp. 113-132). Apple Academic Press.
- Navarro, A., Merino, A., Sánchez, J. L., García-Ortega, E., Martín, R., & Tapiador, F. J. (2022). Towards better characterization of global warming impacts in the environment through climate classifications with improved global

وأظهرت النتائج أن الإقليم يواجه تحديات بيئية خطيرة، خاصة في ظل زيادة الأنشطة البشرية غير المستدامة. إن التدهور الحاد في كثافة الغطاء النباتي، خاصة في المناطق الرطبة وبشريحة الحافة، يُعد إنذاراً واضحاً لتفاقم مشكلة التصحر، مما يستدعي اتخاذ إجراءات عاجلة لمعالجته ووقفه. يجب أن تشمل هذه الإجراءات تعزيز المراقبة البيئية باستخدام التقنيات الحديثة، وتحسين إدارة الموارد المائية، وتنفيذ برامج إعادة التشجير، ورفع الوعي البيئي لدى السكان المحليين.

ختاماً فإن الحفاظ على النظام البيئي الاستثنائي في إقليم الجبل الأخضر ليس فقط مسؤولية محلية، بل هو جزء من الجهود العالمية لمكافحة التصحر وحماية التنوع البيولوجي. يُؤمل أن تكون هذه الدراسة نقطة انطلاق لبحوث مستقبلية أكثر تفصيلاً تهدف إلى وضع استراتيجيات فعالة لضمان استدامة الموارد الطبيعية للأجيال القادمة.

#### قائمة المراجع:

- محمد، مختار عشري عبد السلام. (2005). *مظاهر تصحر الأراضي الزراعية وطرق مكافحته في القسم الشمالي من الجبل الأخضر*. رسالة ماجستير (غير منشورة)، كلية الآداب، قسم الجغرافيا، جامعة بنغازي، بنغازي.
- نوح، سعيد إدريس. (1998). *مناخ الجبل الأخضر، دراسة تحليلية لأصناف المناخ*. رسالة ماجستير (غير منشورة)، كلية الآداب، قسم الجغرافيا، بنغازي، كلية الآداب، قسم الجغرافيا، ليبيا.
- Ali, F. F., Buhedma, A. S., & Nouh, T. A. (2024). Land Degradation and Desertification. In *Achieving Food Security Through Sustainable Agriculture* (pp. 50-80). IGI Global.
- Al-Kulabi, A. K. J. (2022). The Concept of Desertification, Its Causes and Effects, and Treatments. *Journal La Lifesci*, 3(1).
- Atkinson, K. (2023). Libya's Soil Resources and Their Potential for Sustained Agricultural Production. *The Economic Development of Libya*.
- Bandira, P. N. A., Tan, M. L., Teh, S. Y., Shaharudin, S. M., Samat, N., & Mahamud, M. A. (2023, September). Assessment of NASA POWER for climate change analysis using the de Martonne Climate Index in Northern Peninsular Malaysia. In *IOP Conference Series: Earth and Environmental Science* (Vol. 1238, No. 1). IOP Publishing.

models. *International Journal of Climatology*, 42(10).

- Pinto-Ramos, D., Clerc, M. G., Makhoute, A., & Tlidi, M. (2024). Vegetation clustering and self-organization in inhomogeneous environments. arXiv preprint arXiv:2406.12581.

- Rosa, S. L. K., Souza, J. L. M. D., & Santos, A. A. D. (2023). Data from NASA Power and surface weather stations under different climates on reference evapotranspiration estimation. *Pesquisa Agropecuária Brasileira*, 58, e03261.

- Strohmenger, L., Collet, L., Andréassian, V., Corre, L., Rousset, F., & Thirel, G. (2024). Köppen–Geiger climate classification across France based on an ensemble of high-resolution climate projections. *Comptes Rendus. Géoscience*, 356(G1).

- Syed, Amer, Mahmood., Zainab, Tahir., Saira, Batoon., Amer, Masood., Muhammad, Haseeb. (2023). Appraisal of climate change disaster and food security in khyber pakhtunkhaw pakistan using geospatial technologies. *The international archives of the photogrammetry, remote sensing and spatial information sciences*, XLVIII-M-1-2023:425-432. doi: 10.5194/isprs-archives-xlviii-m-1-2023-425-2023.

- Tayyeh, H. K., & Mohammed, R. (2023). Analysis of NASA POWER reanalysis products to predict temperature and precipitation in Euphrates River basin. *Journal of Hydrology*, 619, 129327.

- Thornthwaite, C. W. (1931). The climates of North America: according to a new classification. *Geographical review*, 21(4), 633-655.

- Vessella, F., & Schirone, B. (2022). Forest conservation and restoration using the emberger index: cork Oak as study case. *Forests*, 13(2), 252.

- Xin, L. (2023). Proposal of a new climate classification based on Köppen and Trewartha.